

УДК 519.6+533

ПЛОСКИЕ ЗВУКОВЫЕ ВОЛНЫ МАЛОЙ АМПЛИТУДЫ В ГАЗОПЫЛЕВОЙ СРЕДЕ С ПОЛИДИСПЕРСНЫМИ ЧАСТИЦАМИ

Т. В. Маркелова^{*,**,***}, М. С. Арендаренко^{*,**}, Е. А. Исаенко^{*,**},
О. П. Стояновская^{*,**}

* Институт гидродинамики им. М. А. Лаврентьева СО РАН, 630090 Новосибирск, Россия

** Новосибирский национальный исследовательский государственный университет,
630090 Новосибирск, Россия

*** Институт катализа им. Г. К. Борескова СО РАН, 630090 Новосибирск, Россия
E-mails: matamara@gmail.com, m.arendarenko@g.nsu.ru, e.isaenko@g.nsu.ru,
o.p.sklyar@gmail.com

Рассмотрена задача о распространении плоских звуковых волн малой амплитуды в среде из несущего изотермического газа и твердых частиц различного размера, сформулированная на основе многожидкостной макроскопической модели среды. В модели дисперсная фаза представляет собой N фракций монодисперсных частиц, для описания динамики каждой фракции используются уравнения сплошной среды, в которой отсутствует собственное давление. Фракции обмениваются импульсами с несущим газом, но не между собой. На всю смесь действует общее давление, определяемое движением молекул газа, пылевые частицы считаются плавучими. Аналитическое решение задачи получено с использованием метода Фурье и дисперсионного анализа. В общем случае при произвольном значении времени релаксации решение находится численно с помощью разработанного и опубликованного кода. В частных случаях (бесконечно малого времени скоростной релаксации или релаксационного равновесия и бесконечно большого времени скоростной релаксации или замороженного равновесия) определена эффективная скорость звука в газопылевой среде и с ее помощью получены простые аналитические представления решения задачи.

Ключевые слова: двухфазная полидисперсная среда, гиперболические звуковые волны, дисперсионное соотношение, CFD-тест.

DOI: 10.15372/PMTF20210416

Введение. Численные модели динамики газопылевых сред разрабатываются для широкого класса приложений: моделирования атмосферных аэрозолей природного и техногенного происхождения, проектирования реакторов с мелкодисперсным катализатором, изучения механизмов звездообразования и формирования планет в околозвездных дисках и др. Программные реализации таких моделей должны проходить тестирование на задачах, имеющих эталонное решение. Для подхода, в котором динамика газа и дисперсных частиц описывается уравнениями сплошной среды, в качестве простого и информативного теста целесообразно использовать задачу о распространении плоских звуковых волн малой амплитуды. Альтернативные подходы к описанию двухфазной среды и области применимости гидродинамического приближения приведены, например, в работе [1]. Рас-

Работа выполнена за счет средств Российского научного фонда (код проекта 19-71-10026).

© Маркелова Т. В., Арендаренко М. С., Исаенко Е. А., Стояновская О. П., 2021

пространение волн малой амплитуды аналогичным образом описывается исходной нелинейной системой уравнений в частных производных и линейной системой, полученной из исходной путем линеаризации на стационарном решении. При этом эталонное решение линейной задачи удается построить стандартным методом для широкого диапазона параметров среды:

— по массовой доле дисперсной фазы — от слабозапыленной, в которой дисперсная фаза является пассивной примесью, до нагруженной, в которой межфазный обмен импульсом и энергией оказывает влияние на динамику среды;

— по характерному времени скоростной и тепловой релаксации — от интенсивного до умеренного и слабого межфазного взаимодействия.

Численное решение задачи о распространении волн малой амплитуды позволяет тестировать одновременно результаты расчета конвективного переноса и межфазного взаимодействия в среде, отделяя вычислительные особенности воспроизведения этих процессов от нелинейных эффектов, обусловленных возникновением разрывов (см., например, [2]), неединственностью скорости частиц (см., например, [3–5]). Более того, в рассматриваемой задаче звуковые волны движутся со скоростью, значительно превышающей среднemasсовую скорость среды, поэтому такой тест удобен и широко применяется как для эйлеровых [6–13], так и для лагранжевых [1, 14–20] методов решения уравнений сплошной среды, поскольку при воспроизведении данного решения гарантированно отсутствует проблема пересечения траекторий модельных частиц и как следствие необходимость введения в расчеты искусственной вязкости.

Задача DustyWave о распространении звуковых волн малой амплитуды решена для монодисперсных [21, 22] и полидисперсных [11] сред, в которых твердые частицы не имеют собственного давления и не являются плавучими. В работе [23] приведено решение этой задачи для монодисперсной среды с учетом плавучести частиц, а также показана воспроизводимость этого решения в численных расчетах с использованием лагранжева численного метода. В настоящей работе решение [23] обобщается на случай среды с плавучими полидисперсными частицами, подробно анализируется случай бидисперсной среды и выделяются режимы, при которых в полидисперсной среде существуют бегущие гиперболические волны с постоянной амплитудой.

1. Полидисперсная двухфазная среда с плавучей дисперсной фазой. Рассматривается полидисперсная среда, в которой несущей фазой является сжимаемый невязкий газ с плотностью ρ_g и скоростью v . Пыль содержит N фракций частиц, различающихся по размеру. Для каждой фракции выполняется условие применимости гидродинамического описания среды и определены осредненные по пространству величины: скорость u_j , массовая плотность ρ_j , истинная плотность вещества ρ_s , одинаковая для частиц всех размеров, время релаксации скорости частиц к скорости газа t_j , номер фракции $j = 1, \dots, N$. Систему уравнений для математической модели, в которой учитывается сила плавучести, представим в виде

$$\begin{aligned} \frac{\partial \rho_j}{\partial t} + \frac{\partial \rho_j u_j}{\partial x} &= 0, & \frac{\partial \rho_g}{\partial t} + \frac{\partial \rho_g v}{\partial x} &= 0, \\ \rho_g \left(\frac{\partial v}{\partial t} + v \frac{\partial v}{\partial x} \right) &= -(1 - \theta) \frac{\partial p_g}{\partial x} + \sum_{j=1}^N \frac{\rho_j (u_j - v)}{t_j}, \\ \rho_j \left(\frac{\partial u_j}{\partial t} + u_j \frac{\partial u_j}{\partial x} \right) &= -\theta_j \frac{\partial p_g}{\partial x} - \frac{\rho_j (u_j - v)}{t_j}, \\ p_g &= \frac{c_s^2 \rho_g}{1 - \theta}, & \theta &= \sum_{j=1}^N \theta_j, & \theta_j &= \frac{\rho_j}{\rho_s}. \end{aligned} \tag{1}$$

Исключая давление из уравнений (1), запишем систему уравнений для скоростей и плотностей

$$\begin{aligned} \frac{\partial \rho_j}{\partial t} + \frac{\partial \rho_j u_j}{\partial x} &= 0, & \frac{\partial \rho_g}{\partial t} + \frac{\partial \rho_g v}{\partial x} &= 0, \\ \rho_g \left(\frac{\partial v}{\partial t} + v \frac{\partial v}{\partial x} \right) &= -c_s^2 \left(\frac{\partial \rho_g}{\partial x} + \frac{\rho_g}{\rho_s(1-\theta)} \sum_{j=1}^N \frac{\partial \rho_j}{\partial x} \right) + \sum_{j=1}^N \frac{\rho_j(u_j - v)}{t_j}, \\ \rho_j \left(\frac{\partial u_j}{\partial t} + u_j \frac{\partial u_j}{\partial x} \right) &= -\theta c_s^2 \left(\frac{1}{1-\theta} \frac{\partial \rho_g}{\partial x} + \frac{\rho_g}{\rho_s(1-\theta)^2} \sum_{j=1}^N \frac{\partial \rho_j}{\partial x} \right) - \frac{\rho_j(u_j - v)}{t_j}, \\ \theta &= \sum_{j=1}^N \theta_j, & \theta_j &= \frac{\rho_j}{\rho_s}. \end{aligned} \quad (2)$$

Стационарное решение

$$\rho_g(x, t) = \rho_g^0, \quad \rho_j(x, t) = \rho_j^0, \quad v(x, t) = 0, \quad u_j(x, t) = 0 \quad (3)$$

удовлетворяет системе (2). Поэтому можно предположить, что в малой окрестности решения (3) решения исходной системы и системы, полученной из исходной путем линеаризации на решении (3), будут близкими.

Решение линеаризованной задачи будем искать с помощью метода Фурье. Запишем решение системы (2) в виде

$$\begin{aligned} \rho_g(x, t) &= \rho_g^0 + \delta \rho_g(x, t), & \rho_j(x, t) &= \rho_j^0 + \delta \rho_j(x, t), \\ v(x, t) &= \delta v(x, t), & u_j(x, t) &= \delta u_j(x, t), \end{aligned} \quad (4)$$

где $\delta f(x, t)$ — малые по амплитуде отклонения от стационарного решения (3). Подставляя (4) в систему (2) и пренебрегая членами второго порядка малости, получаем линеаризованную систему с $2N + 2$ уравнениями в частных производных:

$$\begin{aligned} \frac{\partial \delta \rho_j}{\partial t} + \rho_j^0 \frac{\partial \delta u_j}{\partial x} &= 0, & \frac{\partial \delta \rho_g}{\partial t} + \rho_g^0 \frac{\partial \delta v}{\partial x} &= 0, \\ \rho_g^0 \frac{\partial \delta v}{\partial t} + c_s^2 \left(\frac{\partial \delta \rho_g}{\partial x} + \frac{\rho_g^0}{\rho_s(1-\theta)} \sum_{j=1}^N \frac{\partial \delta \rho_j}{\partial x} \right) - \sum_{j=1}^N \frac{\rho_j^0(\delta u_j - \delta v)}{t_j} &= 0, \\ \rho_j^0 \frac{\partial \delta u_j}{\partial t} + \theta_j c_s^2 \left(\frac{1}{1-\theta} \frac{\partial \delta \rho_g}{\partial x} + \frac{\rho_g^0}{\rho_s(1-\theta)^2} \sum_{j=1}^N \frac{\partial \delta \rho_j}{\partial x} \right) + \frac{\rho_j^0(\delta u_j - \delta v)}{t_j} &= 0. \end{aligned} \quad (5)$$

В системе (5) и далее θ_j, θ — величины, соответствующие стационарному решению: $\theta_j = \rho_j^0/\rho_s$, $\theta = \sum_{j=1}^N \frac{\rho_j^0}{\rho_s}$. Решения системы (5) находим в виде

$$\delta f = A \delta \hat{f} e^{ikx - \omega t}, \quad (6)$$

где k — вещественное волновое число; ω — комплексная частота; $\delta \hat{f}$ — неизвестный коэффициент из пространства комплексных чисел; A — малая амплитуда возмущений.

Подставляя (6) в (5), получаем систему линейных уравнений для коэффициентов $\delta \hat{f}$:

$$ik \delta \hat{v} - \frac{\omega}{\rho_g^0} \delta \hat{\rho}_g = 0, \quad ik \delta \hat{u}_j - \frac{\omega}{\rho_j^0} \delta \hat{\rho}_j = 0,$$

$$\begin{aligned}
-\rho_g^0 \omega \delta \hat{v} + c_s^2 \left(ik \delta \hat{\rho}_g + ik \frac{\rho_g^0}{\rho_s(1-\theta)} \sum_{j=1}^N \delta \hat{\rho}_j \right) - \sum_{j=1}^N \frac{\rho_j^0 (\delta \hat{u}_j - \delta \hat{v})}{t_j} &= 0, \\
-\rho_j^0 \omega \delta \hat{u}_j + \theta_j c_s^2 ik \left(\frac{1}{1-\theta} \delta \hat{\rho}_g + \frac{\rho_g^0}{\rho_s(1-\theta)^2} \sum_{j=1}^N \delta \hat{\rho}_j \right) + \frac{\rho_j^0 (\delta \hat{u}_j - \delta \hat{v})}{t_j} &= 0.
\end{aligned} \tag{7}$$

Система (7) имеет нетривиальные решения тогда и только тогда, когда ее определитель равен нулю:

$$\begin{vmatrix}
-\omega \rho_g^0 + \sum_{j=1}^N \frac{\rho_j^0}{t_j} & -\frac{\rho_1^0}{t_1} & \dots & -\frac{\rho_N^0}{t_N} & c_s^2 ik & \frac{c_s^2 ik \rho_g^0}{\rho_s(1-\theta)} & \dots & \frac{c_s^2 ik \rho_g^0}{\rho_s(1-\theta)} \\
-\frac{\rho_1^0}{t_1} & -\omega \rho_1^0 + \frac{\rho_1^0}{t_1} & \dots & 0 & \frac{\theta_1 c_s^2 ik}{1-\theta} & \frac{\theta_1 c_s^2 ik \rho_g^0}{\rho_s(1-\theta)^2} & \dots & \frac{\theta_1 c_s^2 ik \rho_g^0}{\rho_s(1-\theta)^2} \\
\vdots & \vdots \\
-\frac{\rho_N^0}{t_N} & 0 & \dots & -\omega \rho_N^0 + \frac{\rho_N^0}{t_N} & \frac{\theta_N c_s^2 ik}{1-\theta} & \frac{\theta_N c_s^2 ik \rho_g^0}{\rho_s(1-\theta)^2} & \dots & \frac{\theta_N c_s^2 ik \rho_g^0}{\rho_s(1-\theta)^2} \\
ik & 0 & \dots & 0 & -\frac{\omega}{\rho_g^0} & 0 & \dots & 0 \\
0 & ik & 0 & \dots & 0 & -\frac{\omega}{\rho_1^0} & \dots & 0 \\
\vdots & \vdots & \vdots & \vdots & \vdots & \vdots & \ddots & \vdots \\
0 & \dots & \dots & ik & 0 & \dots & \dots & -\frac{\omega}{\rho_N^0}
\end{vmatrix} = 0. \tag{8}$$

Таким образом получаем дисперсионное соотношение, связывающее величины k и ω . Подставляя частоты в (8), решаем систему, выражая все искомые величины $\delta \hat{f}$ через $\delta \hat{\rho}_g$. Подставляя эти величины в (6), добавляя стационарное решение и отделяя действительную часть, получаем решение линеаризованной системы.

Для вычисления комплексной частоты и последующей генерации тестовых решений авторами настоящей работы создан вычислительный код в среде Scilab, в котором в качестве начальных данных задавались число фракций N , стационарное решение ρ_g^0, ρ_j^0 , амплитуда отклонения возмущений от стационарного решения, истинная плотность ρ_s , времена релаксации, скорость звука в газе, волновое число, а также отрезок $[a, b]$ и момент времени для выдачи решений в файлы. В коде использовались стандартные процедуры для вычисления определителя матрицы, корней полинома и решения системы линейных алгебраических уравнений [24]. Ранее авторами был разработан код для решения аналогичной задачи для среды с монодисперсной твердой фазой [23].

Рассмотрим решения, найденные с использованием разработанной программы. В табл. 1 приведены данные, полученные для задачи с тремя фракциями пыли. Найденные константы для вычисления возмущений плотности и скорости необходимо подставить в формулу (6) и прибавить к ним стационарные значения величин, также приведенные в табл. 1. На рис. 1 приведены функции плотности и скорости газа для начального момента времени $t = 0$ и времени $t = 0,6$. Видно, что акустическая волна движется вправо и ее амплитуда не меняется. На рис. 2 приведены функции плотности и скорости пылевых фракций в момент времени $t = 0,6$. Видно, что акустические волны движутся с той же скоростью, что и в газе. При этом скорость нагруженного пылью газа становится меньше, так как скорость звука в газе задана равной единице. В табл. 2, 3 приведены два решения

Таблица 1

Начальные данные для тестового решения с тремя фракциями пыли при $\omega = 0,008\,098\,9 + 5,924\,186\,1i$, $A = 10^{-2}$, $c_s = 1$, $\rho_s = 4$

j	ρ_j^0	$\delta\hat{\rho}_j$	$\delta\hat{v}_j$	t_j
g	1,000	1,000 000 0	$0,942\,863\,5 - 0,001\,289\,0i$	—
1	0,333	$0,332\,817\,5 + 0,009\,846\,3i$	$0,941\,442\,4 + 0,026\,564\,3i$	10^{-2}
2	0,333	$0,333\,334\,2 + 0,000\,987\,6i$	$0,942\,869\,9 + 0,001\,504\,6i$	10^{-3}
3	0,333	$0,333\,333\,9 + 0,000\,098\,8i$	$0,942\,865\,6 - 0,001\,009\,6i$	10^{-4}

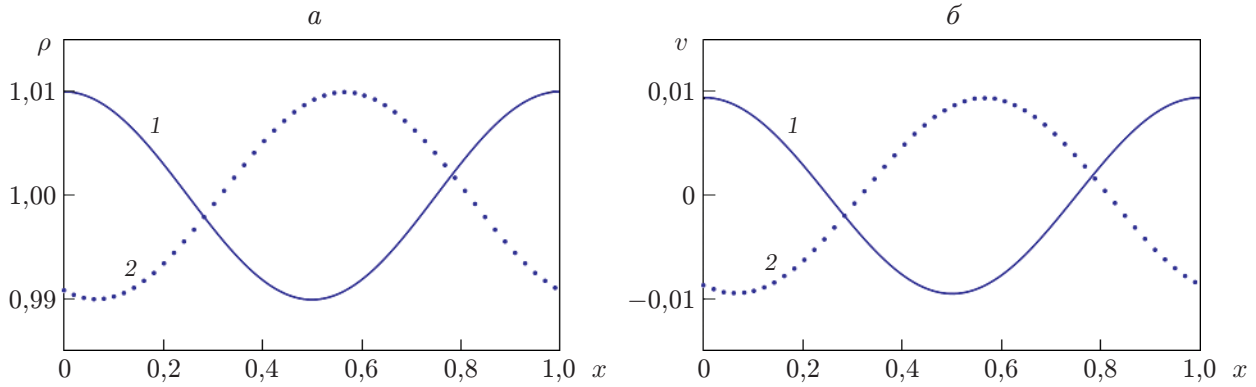


Рис. 1. Функции плотности (а) и скорости (б) газа при начальных данных, указанных в табл. 1, и различных значениях времени: 1 — $t = 0$, 2 — $t = 0,6$

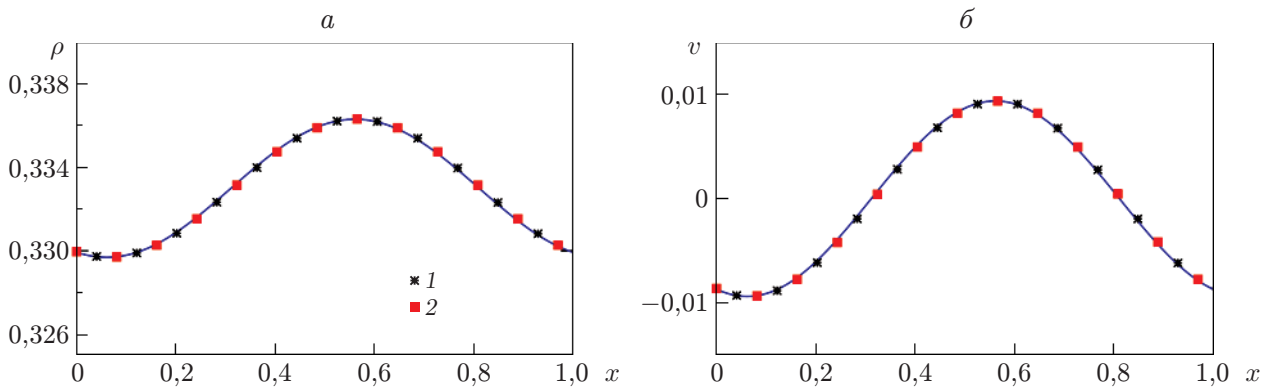


Рис. 2. Функции плотности (а) и скорости (б) частиц пыли при $t = 0,6$ для трех фракций пыли, указанных в табл. 1: линия — первая фракция, * — вторая фракция, □ — третья фракция

Таблица 2

Начальные данные для тестового решения 1 с двумя фракциями пыли
при $\omega = 0,019\,014 + 89,733\,14i$, $A = 10^{-2}$, $c_s = 1$, $\rho_s = 0,04$

j	ρ_j^0	$\delta\hat{\rho}_j$	$\delta\hat{v}_j$	t_j
g	1,00	1,000 000 0	14,281 473 – 0,003 026 2 <i>i</i>	—
1	0,02	1,010 000 1 – 0,000 444 5 <i>i</i>	721,214 370 – 0,470 193 2 <i>i</i>	10^4
2	0,01	0,010 000 1 – 0,000 444 2 <i>i</i>	14,281 489 – 0,637 379 3 <i>i</i>	10^{-5}

Таблица 3

Начальные данные для тестового решения 2 с двумя фракциями пыли
при $\omega = 0,000\,034\,2 + 109,009\,19i$, $A = 10^{-2}$, $c_s = 1$, $\rho_s = 0,04$

j	ρ_j^0	$\delta\hat{\rho}_j$	$\delta\hat{v}_j$	t_j
g	1,00	1,000 000 0	17,349 352 – 0,000 005 4 <i>i</i>	—
1	0,02	1,999 998 3 – 0,000 005 6 <i>i</i>	173,933 700 – 0,005 428 0 <i>i</i>	10^4
2	0,01	0,999 999 1 – 0,000 002 0 <i>i</i>	1734,933 700 – 0,004 009 9 <i>i</i>	10^5

для задачи с двумя фракциями пыли при различных значениях времени релаксации: в первом решении одно число релаксации достаточно велико, а второе очень мало, во втором случае оба числа релаксации выбраны большими. На рис. 3, 4 видно, что волны движутся вправо с неизменной амплитудой.

2. Среда, содержащая две фракции пыли с ненулевой объемной долей. Случай с одной фракцией пыли рассматривался в работе [23], поэтому исследуем случай $N = 2$. В этом случае линеаризованная система для величин $\delta\hat{f}$ образует матрицу

$$\begin{pmatrix} -\omega\rho_g^0 + \frac{\rho_1^0}{t_1} + \frac{\rho_2^0}{t_2} & -\frac{\rho_1^0}{t_1} & -\frac{\rho_2^0}{t_2} & c_s^2 ik & \frac{c_s^2 ik \rho_g^0}{\rho_s(1-\theta)} & \frac{c_s^2 ik \rho_g^0}{\rho_s(1-\theta)} \\ -\frac{\rho_1^0}{t_1} & -\omega\rho_1^0 + \frac{\rho_1^0}{t_1} & 0 & \frac{\theta_1 c_s^2 ik}{1-\theta} & \frac{\theta_1 c_s^2 ik \rho_g^0}{\rho_s(1-\theta)^2} & \frac{\theta_1 c_s^2 ik \rho_g^0}{\rho_s(1-\theta)^2} \\ -\frac{\rho_2^0}{t_2} & 0 & -\omega\rho_2^0 + \frac{\rho_2^0}{t_2} & \frac{\theta_2 c_s^2 ik}{1-\theta} & \frac{\theta_2 c_s^2 ik \rho_g^0}{\rho_s(1-\theta)^2} & \frac{\theta_2 c_s^2 ik \rho_g^0}{\rho_s(1-\theta)^2} \\ ik & 0 & 0 & -\frac{\omega}{\rho_g^0} & 0 & 0 \\ 0 & ik & 0 & 0 & -\frac{\omega}{\rho_1^0} & 0 \\ 0 & 0 & ik & 0 & 0 & -\frac{\omega}{\rho_2^0} \end{pmatrix}. \quad (9)$$

Приравнивая к нулю определитель матрицы (9) и используя программу Wolfram Mathematica, получаем дисперсионное соотношение

$$\begin{aligned} \omega^6 - \omega^5 \left(\frac{1 + \varepsilon_1}{t_1} + \frac{1 + \varepsilon_2}{t_2} \right) + \omega^4 \left(c_s^2 k^2 \left(\frac{\theta^2}{\varepsilon(1-\theta)^2} + 1 \right) + \frac{1 + \varepsilon}{t_1 t_2} \right) - \\ - \frac{\omega^3 c_s^2 k^2}{t_1} \left(1 + \frac{\theta_2 \theta}{\varepsilon(1-\theta)^2} + \frac{\theta_1}{1-\theta} + \frac{\theta_1}{(1-\theta)^2} \right) - \\ - \frac{\omega^3 c_s^2 k^2}{t_2} \left(1 + \frac{\theta_1 \theta}{\varepsilon(1-\theta)^2} + \frac{\theta_2}{1-\theta} + \frac{\theta_2}{(1-\theta)^2} \right) + \omega^2 \frac{c_s^2 k^2}{(1-\theta)^2 t_1 t_2} = 0, \quad (10) \end{aligned}$$

где $\varepsilon = (\rho_1^0 + \rho_2^0)/\rho_g^0$; $\varepsilon_j = \rho_j^0/\rho_g^0$.

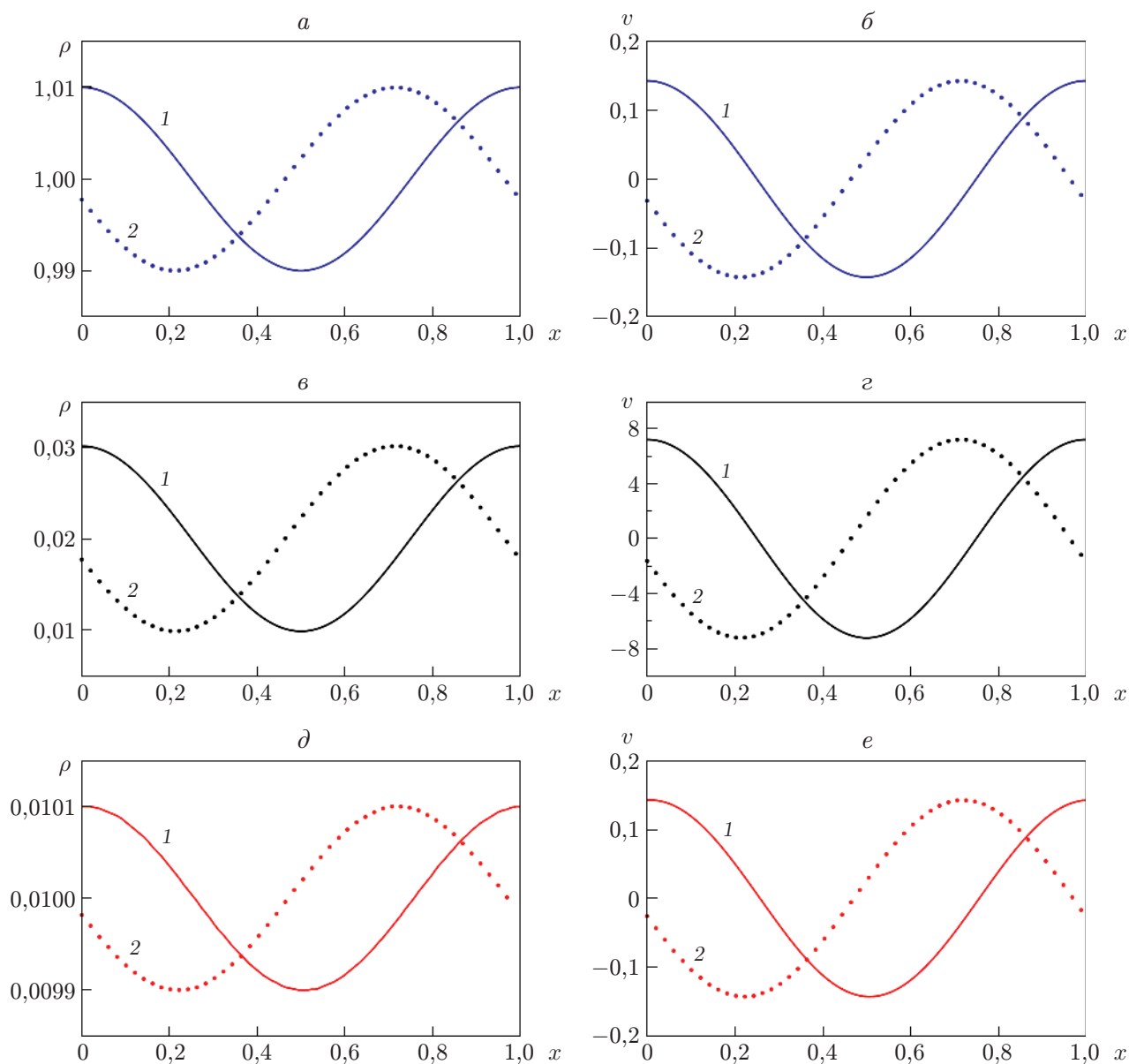


Рис. 3. Решение 1 задачи для двух фракций пыли с временами релаксации $t_1 = 10^4$, $t_2 = 10^{-5}$ при начальных данных, указанных в табл. 2, и различных значениях времени:

$a, в, д$ — функции плотности, $б, г, е$ — функции скорости; $a, б$ — газ, $в, г$ — первая фракция пыли, $д, е$ — вторая фракция пыли; 1 — $t = 0$, 2 — $t = 0,05$

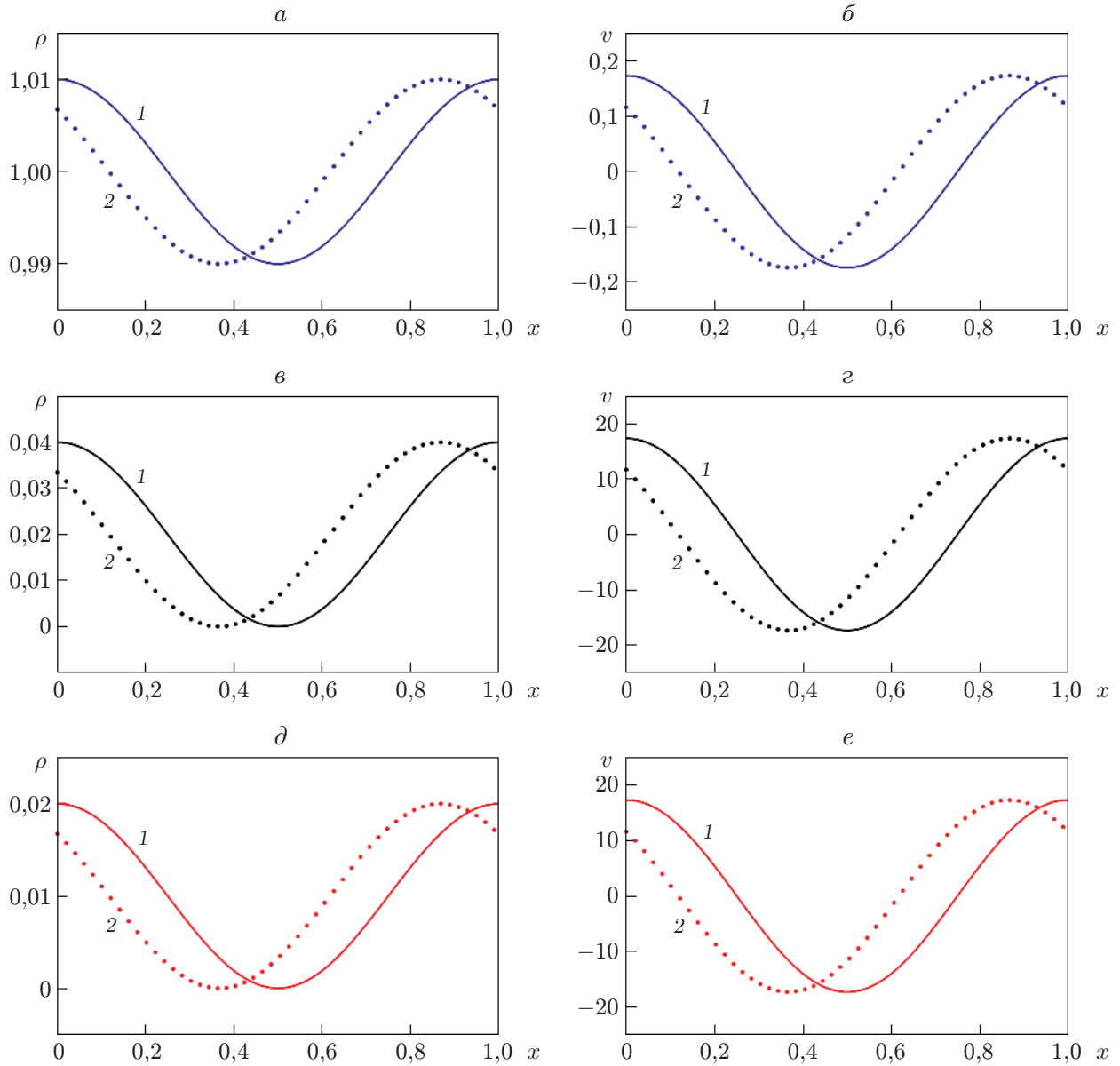


Рис. 4. Решение 2 задачи для двух фракций пыли с временами релаксации $t_1 = 10^4$, $t_2 = 10^5$ при начальных данных, указанных в табл. 3, и различных значениях времени (обозначения те же, что на рис. 3)

Рассмотрим случай, когда t_1, t_2 стремятся к нулю. Оставим в дисперсионном соотношении только те коэффициенты, которые стремятся к бесконечности быстрее остальных (эти коэффициенты пропорциональны $1/(t_1 t_2)$), остальными будем пренебрегать. Тогда получаем уравнение

$$\omega^4(1 + \varepsilon) + \omega^2 c_s^2 k^2 / (1 - \theta)^2 = 0. \quad (11)$$

Из (11) находим комплексную частоту в этом предельном случае:

$$\omega_{1,2} = 0, \quad \omega_{3,4} = \pm i c_s k / \sqrt{(1 + \varepsilon)(1 - \theta)^2}.$$

Устремляя в (10) t_1 и t_2 к бесконечности, преобразуем это уравнение к уравнению с положительными коэффициентами

$$\omega^6 + \omega^4 (k c_s)^2 (1 + \theta^2 / (\varepsilon(1 - \theta)^2)) = 0,$$

которое имеет два комплексно-сопряженных ненулевых корня и корень, равный нулю, кратности четыре:

$$\omega_{1,2,3,4} = 0, \quad \omega_{5,6} = \pm i c_s k \sqrt{1 + \theta^2 / (\varepsilon(1 - \theta)^2)}.$$

При бесконечно малом времени t_2 и бесконечно большом t_1 в уравнении (10) оставим коэффициенты, которые пропорциональны $1/t_2$. Получаем уравнение

$$\omega^5(1 + \varepsilon_2) + \omega^3 (k c_s)^2 \left(1 + \frac{\theta_1 \theta}{\varepsilon(1 - \theta)^2} + \frac{\theta_2}{1 - \theta} + \frac{\theta_2}{(1 - \theta)^2} \right) = 0$$

и вычисляем его корни

$$\omega_{1,2,3} = 0, \quad \omega_{4,5} = \pm i c_s k \sqrt{\frac{1}{1 + \varepsilon_2} \left(1 + \frac{\theta_1 \theta}{\varepsilon(1 - \theta)^2} + \frac{\theta_2}{1 - \theta} + \frac{\theta_2}{(1 - \theta)^2} \right)}.$$

В этих предельных случаях решения сохраняют амплитуду вследствие равенства нулю действительной части ω и движутся влево или вправо в зависимости от знака мнимой части.

3. Решения линеаризованной системы для N фракций пыли в предельных случаях. Для случая с произвольным количеством фракций пыли также исследованы частоты для двух предельных случаев $t_j \rightarrow 0, j = 1, \dots, N$ и $t_j \rightarrow \infty, j = 1, \dots, N$. В случае когда все времена релаксации стремятся к нулю, комплексно-сопряженные волновые числа являются корнями уравнения

$$\omega^{N+2}(1 + \varepsilon) + \omega^N c_s^2 k^2 / (1 - \theta)^2 = 0$$

и имеют вид

$$\omega_k = 0, \quad k = 1, \dots, N, \quad \omega_{N+1, N+2} = \pm i c_s k / \sqrt{(1 + \varepsilon)(1 - \theta)^2}.$$

Введем обозначение $c_s^* = c_s / \sqrt{(1 + \varepsilon)(1 - \theta)^2}$ и запишем решение системы (5) для данного случая:

$$\begin{aligned} \rho_g(x, t) &= \rho_g^0 + A \cos(kx - k c_s^* t), & v(x, y) &= (c_s^* / \rho_g^0) A \cos(kx - k c_s^* t), \\ \rho_j(x, t) &= \rho_j^0 + A \varepsilon_j \cos(kx - k c_s^* t), & u_j(x, y) &= (c_s^* / \rho_g^0) A \cos(kx - k c_s^* t). \end{aligned}$$

Для случая бесконечных чисел релаксации комплексно-сопряженные волновые числа находятся из соотношения

$$\omega^{2N+2} + \omega^{2N} c_s^2 k^2 (\theta^2 / (\varepsilon(1 - \theta)^2) + 1) = 0,$$

корнями которого являются

$$\omega_p = 0, \quad p = 1, \dots, 2N, \quad \omega_{2N+1, 2N+2} = \pm i c_s k \sqrt{\theta^2 / (\varepsilon(1 - \theta)^2) + 1}.$$

Введем обозначение $c_s^* = c_s \sqrt{\theta^2 / (\varepsilon(1 - \theta)^2) + 1}$, тогда решение системы (5) для положительного волнового числа имеет вид

$$\begin{aligned} \rho_g(x, t) &= \rho_g^0 + A \cos(kx - kc_s^*t), & v(x, y) &= \frac{c_s^*}{\rho_g^0} A \cos(kx - kc_s^*t), \\ \rho_j(x, t) &= \rho_j^0 + \frac{\theta_j}{1 - \theta} A \cos(kx - kc_s^*t), & u_j(x, y) &= \frac{c_s^* \theta_j}{\rho_j^0 \varepsilon_j (1 - \theta)} A \cos(kx - kc_s^*t). \end{aligned}$$

Заключение. В работе рассмотрена задача о распространении звуковых волн малой амплитуды в среде, состоящей из несущего изотермического газа и твердых полидисперсных частиц. Задача сформулирована с использованием двухжидкостной модели среды с общим давлением, описывающей взаимный обмен импульсами между газом и каждой фракцией дисперсной фазы, а также плавучесть дисперсной фазы. Приведен метод построения эталонного решения, соответствующего бегущей монохроматической волне в среде с произвольным количеством пылевых фракций и произвольными временами скоростной релаксации. Этот метод генерации решения реализован в виде программного кода `DustyWavePolydispVolumeDust.sce`. Генерируемые решения можно использовать в качестве эталонных при верификации программ численного моделирования динамики двухфазных полидисперсных сред, а также при исследовании асимптотических, диссипативных и дисперсионных свойств новых численных методов. Также в работе определены режимы, в которых амплитуда распространяющихся волн постоянна. Для бидисперсной твердой фазы выделены три таких предельных режима: 1) оба значения времени релаксации стремятся к нулю; 2) оба значения времени релаксации стремятся к бесконечности; 3) одно время релаксации стремится к нулю, другое — к бесконечности. Для каждого режима найдена соответствующая скорость распространения звуковых волн. Режимы 1 и 2 обобщены на случай полидисперсной твердой фазы с произвольным количеством пылевых фракций, для этих режимов приведено аналитическое представление решения, соответствующего бегущей монохроматической волне с постоянной амплитудой.

ЛИТЕРАТУРА

1. **Stoyanovskaya O. P., Davydov M. N., Arendarenko M. S., et al.** Fast method to simulate dynamics of two-phase medium with intense interaction between phases by smoothed particle hydrodynamics: Gas-dust mixture with polydisperse particles, linear drag, one-dimensional tests // *J. Comput. Phys.* 2021. V. 430. 110035.
2. **Киселев С. П.** Ударно-волновые процессы в двухкомпонентных и двухфазных средах / С. П. Киселев, Г. А. Руев, А. П. Трунев, В. М. Фомин, М. Ш. Шавалиев. Новосибирск: Наука. Сиб. издат. фирма, 1992.
3. **Klebanov L.** On the hyperbolicity, stability and correctness of the Cauchy problem for the system of equations of two-speed motion of two-phase media // *J. Appl. Math. Mech.* 1982. V. 46. P. 66–74.
4. **Крайко А. Н.** О корректности задачи Коши для двухжидкостной модели течения смеси газа с частицами // *Прикл. математика и механика.* 1982. Т. 46, № 3. С. 420–428.
5. **Киселев С. П., Фомин В. М.** Континуально-дискретная модель для смеси газ — твердые частицы при малой объемной концентрации частиц // *ПМТФ.* 1986. № 2. С. 93–101.
6. **Porth O., Xia C., Hendrix T., et al.** MPI-AMRVAC for solar and astrophysics // *Astrophys. J. Suppl. Ser.* 2014. V. 214, N 1. 4.
7. **Yang C.-C., Johansen A.** Integration of particle-gas systems with stiff mutual drag interaction // *Astrophys. J. Suppl. Ser.* 2016. V. 224, N 2. 39.

8. **McKinnon R., Vogelsberger M., Torrey P., et al.** Simulating galactic dust grain evolution on a moving mesh // Monthly Notices Roy. Astronom. Soc. 2018. V. 478. P. 2851–2886.
9. **Riols A., Lesur G.** Dust settling and rings in the outer regions of protoplanetary discs subject to ambipolar diffusion // Astronomy Astrophys. 2018. V. 617. A117.
10. **Vorobyov E. I., Akimkin V., Stoyanovskaya O., et al.** Early evolution of viscous and self-gravitating circumstellar disks with a dust component // Astronomy Astrophys. 2018. V. 614. A98. DOI: 10.1051/0004-6361/201731690.
11. **Benítez-Llambay P., Krapp L., Pessah M.** Asymptotically stable numerical method for multispecies momentum transfer: gas and multifluid dust test suite and implementation in FARGO3D // Astrophys. J. Suppl. Ser. 2019. V. 241, N 2. 25. DOI: 10.3847/1538-4365/ab0a0e.
12. **Lebreuilly U., Commerçon B., Laibe G.** Small dust grain dynamics on adaptive mesh refinement grids. 1. Methods // Astronomy Astrophys. 2019. V. 626. A96.
13. **Moseley E. R., Squire J., Hopkins P. F.** Non-linear evolution of instabilities between dust and sound waves // Monthly Notices Roy. Astronom. Soc. 2019. V. 489. P. 325–338.
14. **Laibe G., Price D. J.** Dusty gas with smoothed particle hydrodynamics. 1. Algorithm and test suite // Monthly Notices Roy. Astronom. Soc. 2012. V. 420. P. 2345–2364.
15. **Laibe G., Price D. J.** Dusty gas with one fluid in smoothed particle hydrodynamics // Monthly Notices Roy. Astronom. Soc. 2014. V. 440. P. 2147–2163.
16. **Lorén-Aguilar P., Bate M. R.** Two-fluid dust and gas mixtures in smoothed particle hydrodynamics: a semi-implicit approach // Monthly Notices Roy. Astronom. Soc. 2014. V. 443. P. 927–945.
17. **Booth R. A., Sijacki D., Clarke C. J.** Smoothed particle hydrodynamics simulations of gas and dust mixtures // Monthly Notices Roy. Astronom. Soc. 2015. V. 452. P. 3932–3947.
18. **Hubber D. A., Rosotti G. P., Booth R. A.** GANDALF — graphical astrophysics code for N-body dynamics and lagrangian fluids // Monthly Notices Roy. Astronom. Soc. 2018. V. 473. P. 1603–1632.
19. **Stoyanovskaya O. P., Glushko T. A., Snytnikov N. V., Snytnikov V. N.** Two-fluid dusty gas in smoothed particle hydrodynamics: Fast and implicit algorithm for stiff linear drag // Astronomy Comput. 2018. V. 25. P. 25–37.
20. **Mentiply D., Price D. J., Pinte C., Laibe G.** A smoothed particle hydrodynamics algorithm for multigrain dust with separate sets of particles // Monthly Notices Roy. Astronom. Soc. 2020. V. 499. P. 3806–3818.
21. **Marble F. E.** Dynamics of dusty gases // Annual Rev. Fluid Mech. 1970. N 2. P. 397–446. DOI: 10.1146/annurev.fl.02.010170.002145.
22. **Laibe G., Price D. J.** DUSTYBOX and DUSTYWAVE: two test problems for numerical simulations of two-fluid astrophysical dust-gas mixtures // Monthly Notices Roy. Astronom. Soc. 2011. V. 418. P. 1491–1497. DOI: 10.1111/j.1365-2966.2011.19291.x.
23. **Markelova T. V., Stoyanovskaya O. P., Arendarenko M. S., et al.** Acoustic waves in monodisperse and polydisperse gas-dust mixtures with intense momentum transfer between phases // J. Phys.: Conf. Ser. 2020. V. 1666. 012050.
24. **DustyWavePolydispVolumeDust.sce.** [Электрон. ресурс]. Режим доступа: https://github.com/MultiGrainSPH/1D_Dust_DS/tree/master/DustyWave.

*Поступила в редакцию 30/IV 2021 г.,
после доработки — 20/V 2021 г.
Принята к публикации 31/V 2021 г.*